

ANEXOS A LA SOLICITUD DE DEPÓSITO DE LA
LÍNEA CELULAR **IC-Ctrl1-F-iPS-4F-1** EN EL BANCO
NACIONAL DE LÍNEAS CELULARES

ANNEXES TO THE APPLICATION FORM FOR DEPOSITING
IC-Ctrl1-F-iPS-4F-1 CELL LINE
INTO THE NATIONAL BANK OF STEM CELL LINES

ANEXOS / ANNEXES

Anexo 1: Test de pluripotencia de la línea [IC-Ctrl1-F-iPS-4F-1](#)

Annex 1: Pluripotency Test

Anexo 2: Test de diferenciación in vitro de la línea [IC-Ctrl1-F-iPS-4F-1](#)

Annex 2: In vitro differentiation Test

Anexo 3: Cariotipo de la línea [IC-Ctrl1-F-iPS-4F-1](#)

Annex 3: Karyotype

Anexo 4: Huella genética de los fibroblastos (células de origen)

y de la línea [IC-Ctrl1-F-iPS-4F-1](#)

Annex 4: Genetic fingerprinting

Anexo 5: Test de silenciamiento de la línea [IC-Ctrl1-F-iPS-4F-1](#)

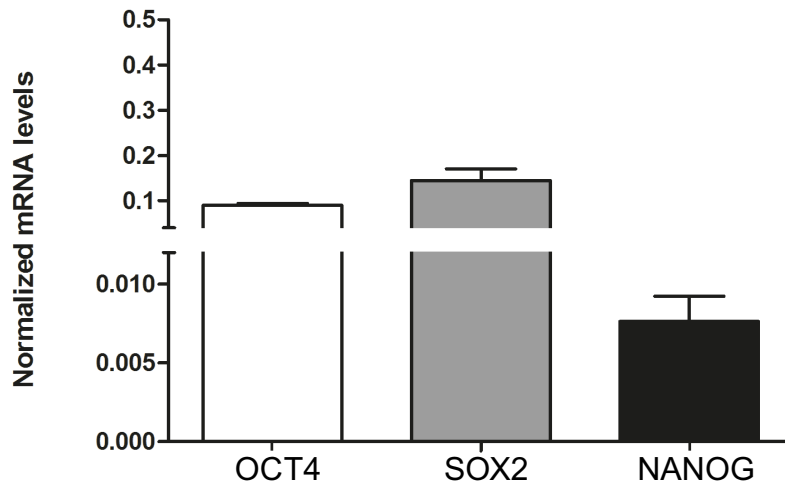
Annex 5: Silencing Test

Anexo 6: Test de micoplasma de la línea [IC-Ctrl1-F-iPS-4F-1](#).

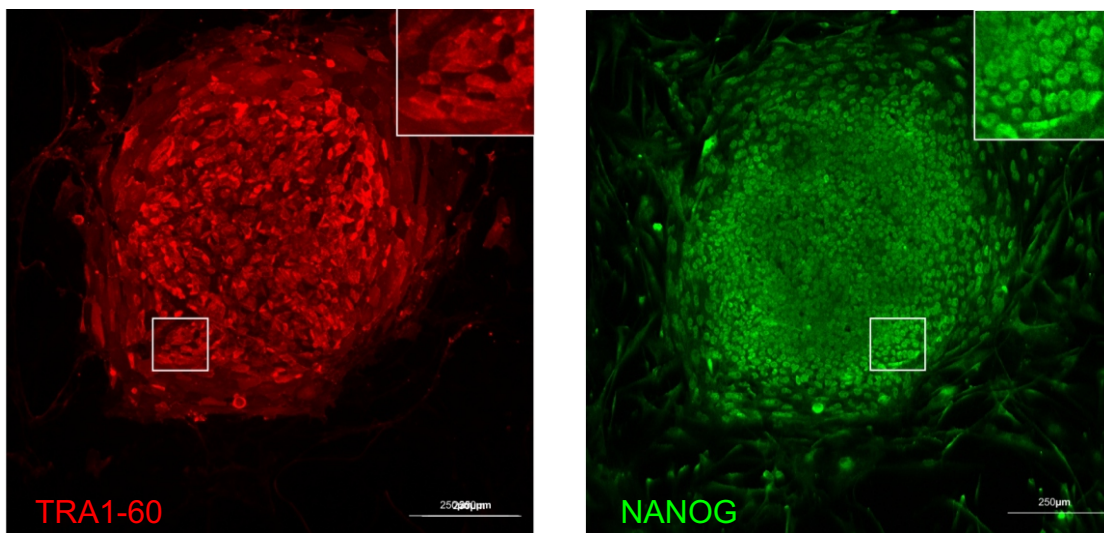
Annex 6: Mycoplasma Test

Anexo 1
Test de pluripotencia de la línea IC-Ctrl1-F-iPS-4F-1

Annex 1
Pluripotency Test

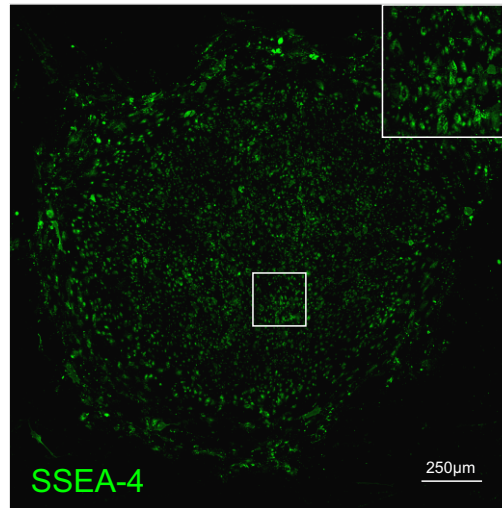


Niveles de expresion de OCT4, SOX2 y NANOG de la línea IC-Ctrl1-F-iPS-4F-1
Expression levels of OCT4, SOX2 and NANOG

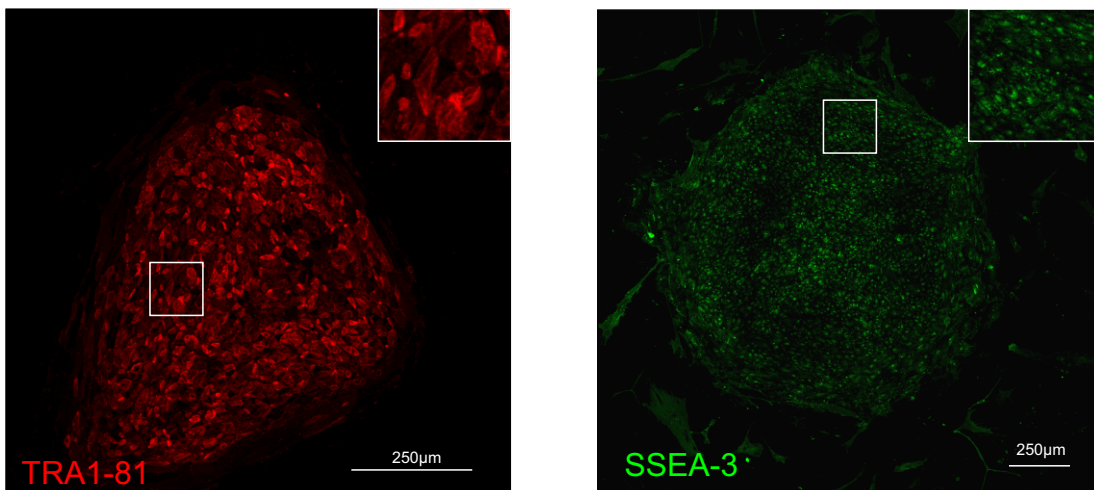


Detección por inmunofluorescencia de la expresion de TRA1-60 y NANOG en la línea IC-Ctrl1-F-iPS-4F-1

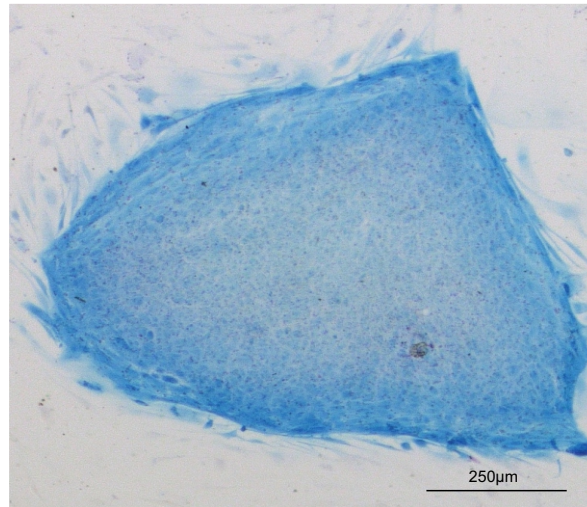
Immunofluorescence detection of TRA1-60 and NANOG expression



Detección por inmunofluorescencia de la expresión de SSEA-4
en la línea [IC-Ctrl1-F-iPS-4F-1](#)
Immunofluorescence detection of SSEA-4 expression



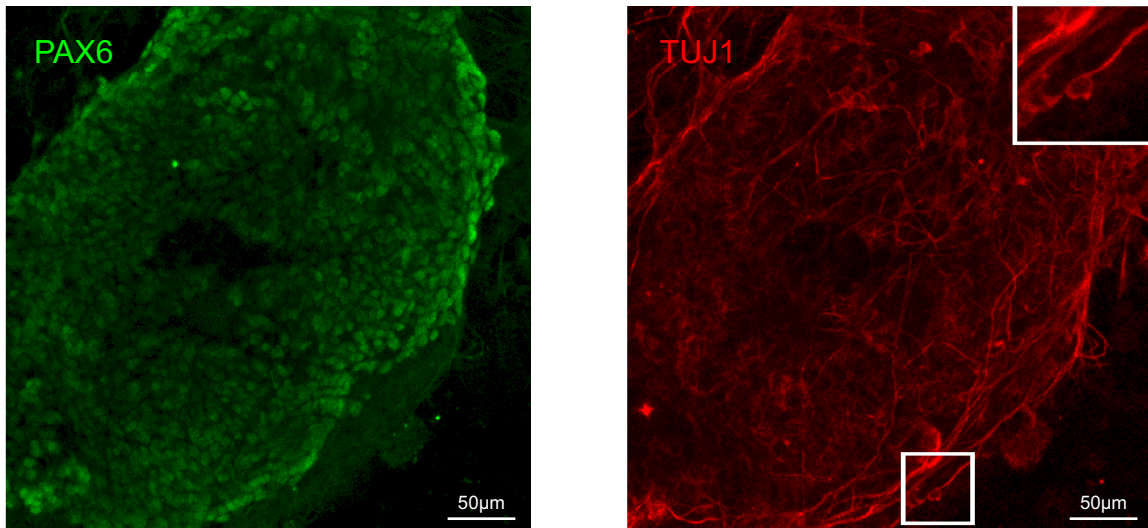
Detección por inmunofluorescencia de la expresión de TRA1-81 y SSEA-3 en
la línea [IC-Ctrl1-F-iPS-4F-1](#)
Immunofluorescence detection of TRA1-81 and SSEA-3 expression



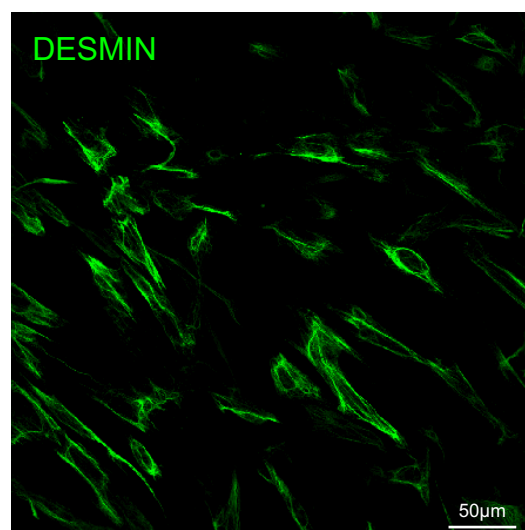
Detección por inmunocitoquímica de la actividad fosfatasa alcalina
en la línea IC-Ctrl1-F-iPS-4F-1
Immunocytochemistry detection of alkaline phosphatase activity

Anexo 2
Test de diferenciación in vitro de la línea IC-Ctrl1-F-iPS-4F-1

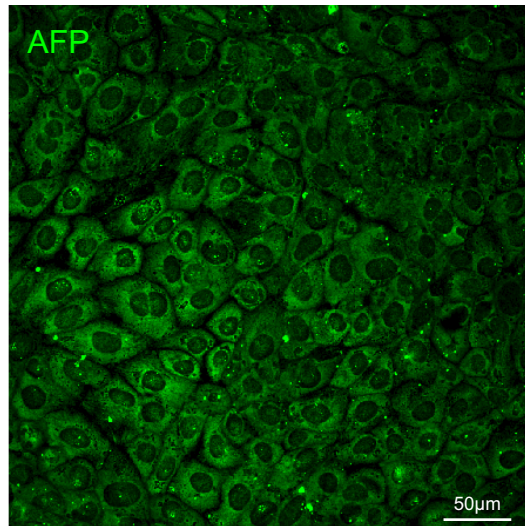
Annex 2
In vitro differentiation Test



Diferenciación in vitro a Ectodermo de la línea IC-Ctrl1-F-iPS-4F-1. Células positivas para PAX6 y TUJ1.
In vitro differentiation into Ectoderm. PAX6 and TUJ1 positive cells.



Diferenciación in vitro a Mesodermo de la línea IC-Ctrl1-F-iPS-4F-1. Células positivas para DESMIN.
In vitro differentiation into Mesoderm. DESMIN positive cells.

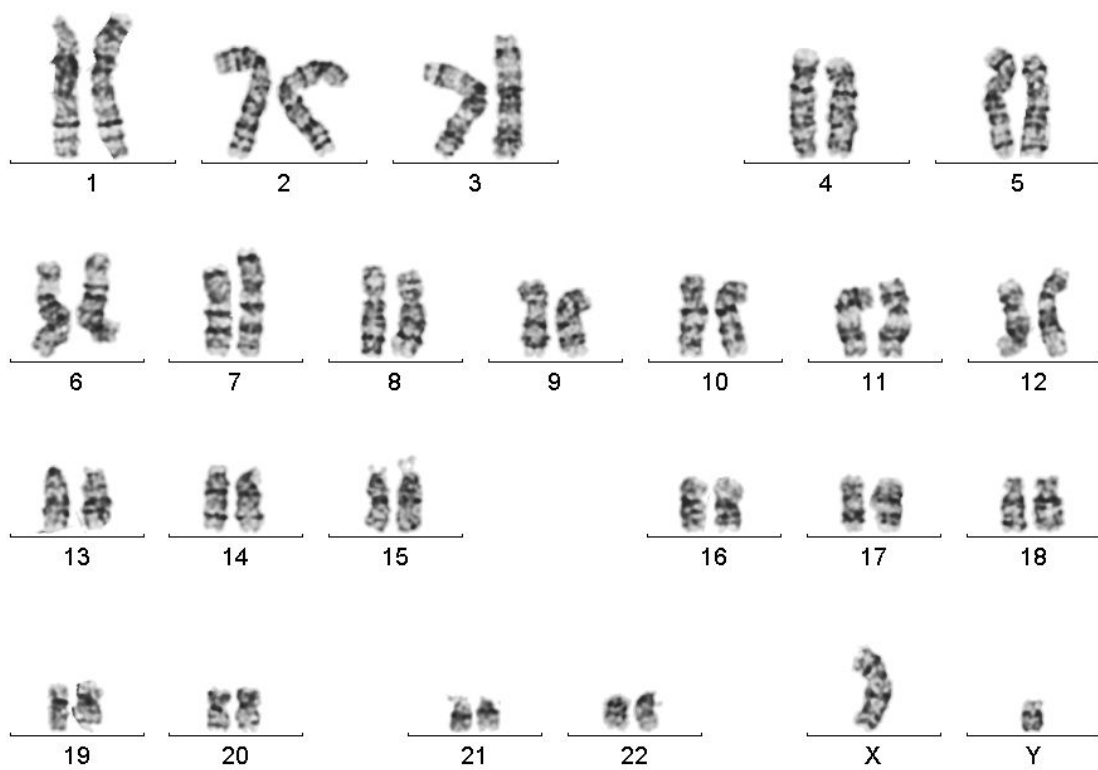


Diferenciación in vitro a Endodermo de la línea [IC-Ctrl1-F-iPS-4F-1](#). Células positivas para alfa-fetoproteína.

In vitro differentiation into Endoderm. Alpha-fetoprotein positive cells.

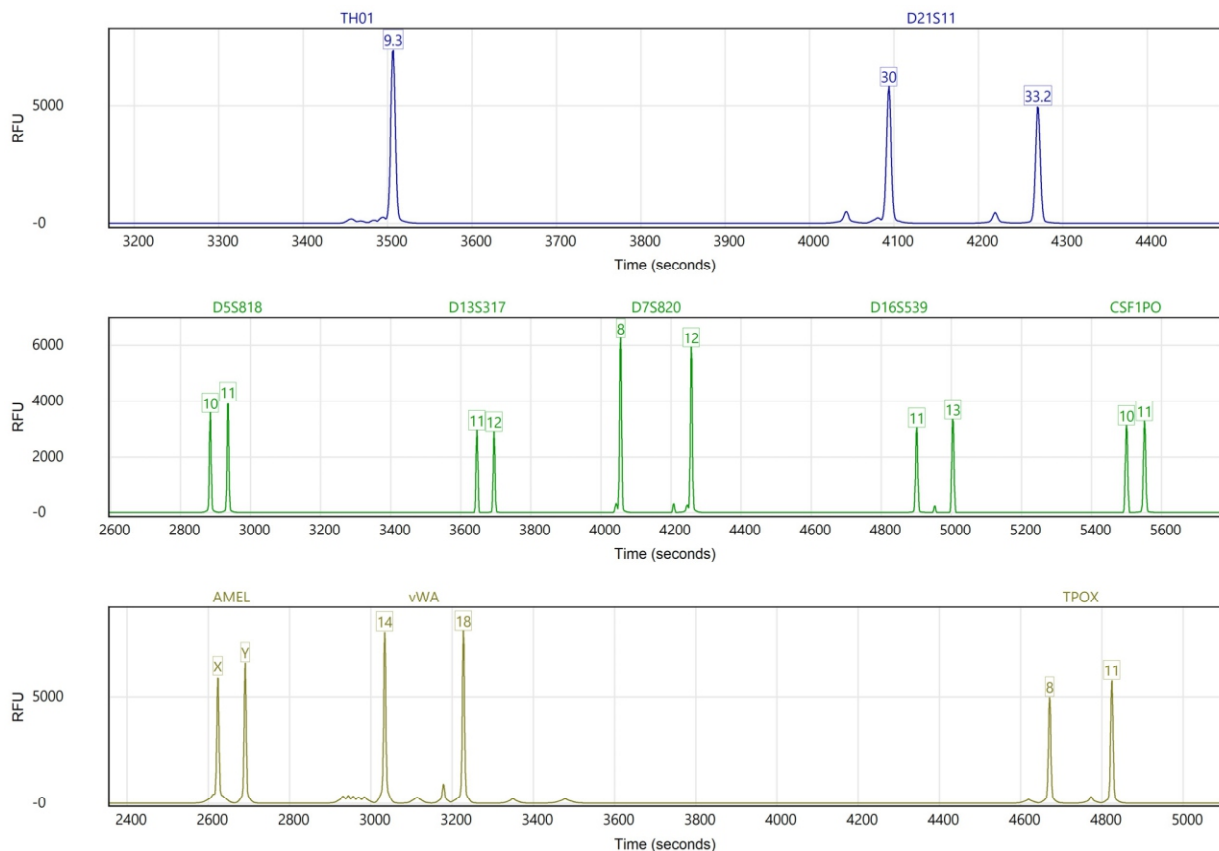
Anexo 3
Cariotipo de la línea IC-Ctrl1-F-iPS-4F-1

Annex 3
Karyotype



Anexo 4 Huella genética de los fibroblastos (células de origen)

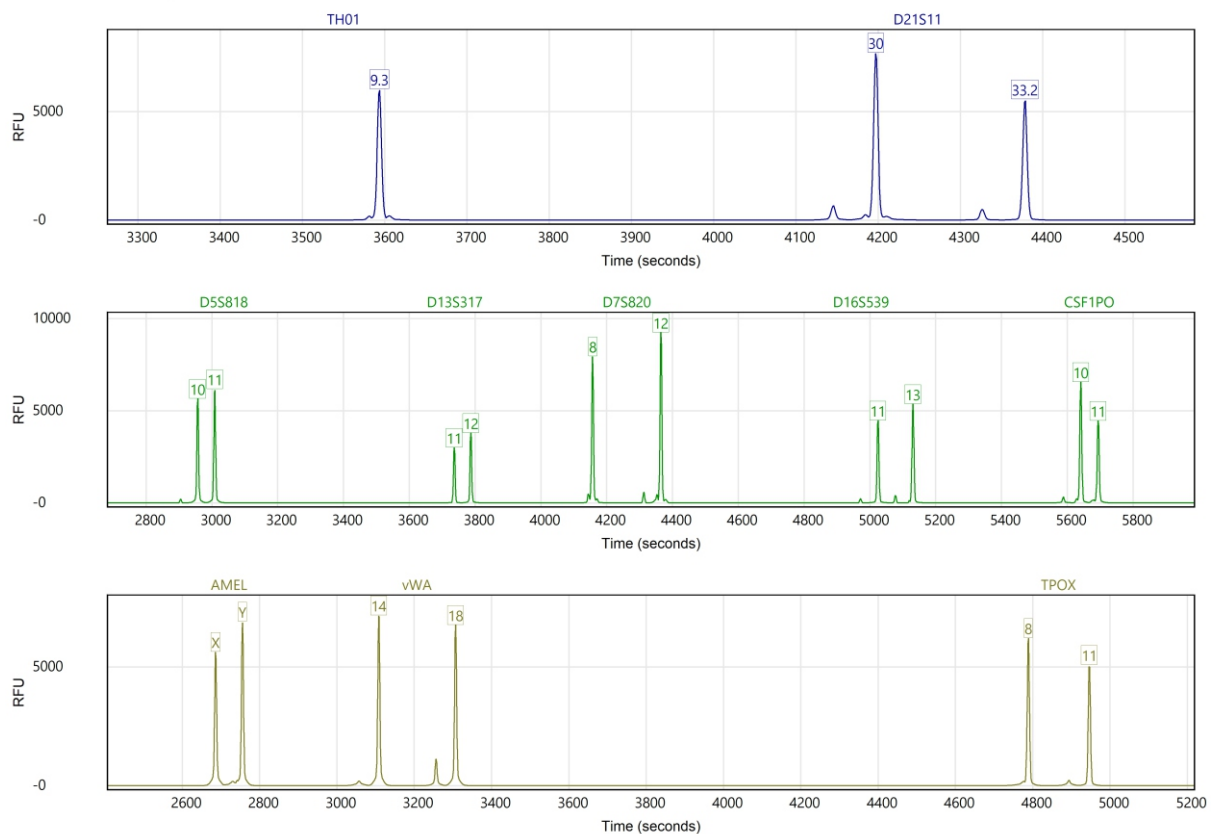
Annex 4 Genetic fingerprinting of fibroblasts



GenePrint10 Marker	Test Sample Profile
TH01	9.3
D21S11	30, 33.2
D5S818	10, 11
D13S317	11, 12
D7S820	8, 12
D16S539	11, 13
CSF1PO	10, 11
AMEL	X, Y
vWA	14, 18
TPOX	8, 11

Anexo 4
Huella genética de la línea IC-Ctrl1-F-iPS-4F-1.

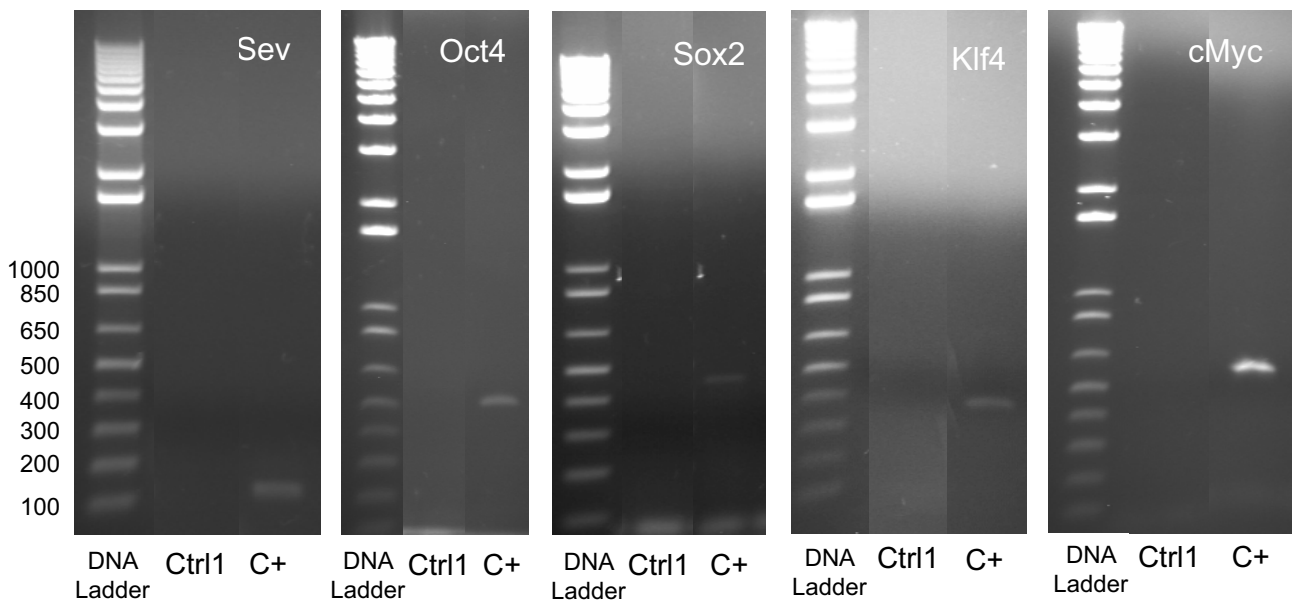
Annex 4
Genetic fingerprinting of line IC-Ctrl1-F-iPS-4F-1



GenePrint10 Marker	Test Sample Profile
TH01	9.3
D21S11	30, 33.2
D5S818	10, 11
D13S317	11, 12
D7S820	8, 12
D16S539	11, 13
CSF1PO	10, 11
AMEL	X, Y
vWA	14, 18
TPOX	8, 11

Anexo 5
Test de silenciamiento de la línea IC-Ctrl1-F-iPS-4F-1

Annex 5
Silencing Test

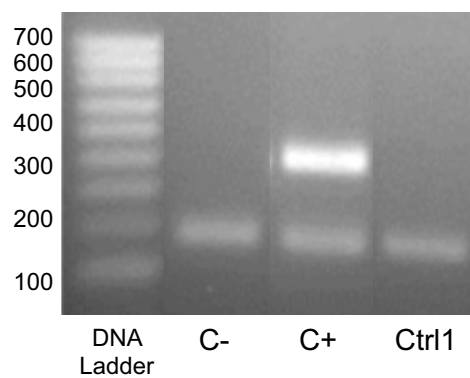


Gene	Primer (5'-3')	Length
Sev	Forward	GGA TCA CTA GGT GAT ATC GAG C*
	Reverse	ACC AGA CAA GAG TTT AAG AGA TAT GTA TC*
Oct4	Forward	CCC GAA AGA GAA AGC GAA CCA G
	Reverse	AAT GTA TCG AAG GTG CTC AA*
Sox2	Forward	ATG CAC CGC TAC GAC GTG AGC GC
	Reverse	AAT GTA TCG AAG GTG CTC AA*
Klf4	Forward	TTC CTG CAT GCC AGA GGA GCC C
	Reverse	AAT GTA TCG AAG GTG CTC AA*
cMyc	Forward	TAA CTG ACT AGC AGG CTT GTC G*
	Reverse	TCC ACA TAC AGT CCT GGA TGA TGA TG

* Primer contains SeV genome sequences. Pairing of these primers with transgene-specific primers allows specific detection of transgenes carried by the CytoTune™ Sendai reprogramming vectors. Note that the same reverse primer is used for detecting Sox2, Klf4, and Oct4.

Anexo 6
Test de micoplasma de la línea IC-Ctrl1-F-iPS-4F-1

Annex 6
Mycoplasma Test



- Contaminación: Bandas entre 448-611 bp Micoplasma positivo
- Control interno 270 bp
- A mayor contaminación menos amplificación del control interno
- C- : control interno
- C+ : control positivo de cultivo contaminado con micoplasma